МЕТОДИКА АНАЛИЗА ОШИБОК САМОНАСТРОЙКИ МНОГОКАНАЛЬНОГО АВТОКОМПЕНСАТОРА

УДК 621.396.98

С. М. Костромицкий, И. Н. Давыденко, А. А. Дятко, РУП «КБ РАДАР», г. Минск Аннотация

В статье рассматривается методика анализа ошибок самонастройки многоканального автокомпенсатора помек с коррелационными обратными связами, реализующего критерий минимума выходной мощности. Методика основана на представлении автокомпенсатора в виде многомерного следущего измерятеля весовых кожффициентох.

Введение

Система дифференциальных уравнений относительно весовых коэффициентов автокомпенсатора в соответствии с [1] имеет следующий вид (в качестве цепей сглаживания сигналя ошибки используется идеальный интегратор):

$$\frac{1}{K_{x}} \cdot \frac{d\mathbf{W}}{dt} = \mathbf{K}_{x} \cdot (\mathbf{W}_{ux} - \mathbf{W} + \mathbf{\eta}(\mathbf{r})), \tag{1}$$

где К_v – коэффициент преобразования интегратора по скорости;

 $K_{_{\rm S}}$ – коэффициент преобразования цепей корреляционной обратной связи;

 $\mathbf{W} = \{W_1, W_2, W_1, ..., W_N\}^T$ – вектор комплексных весовых коэффициентов;

 ${f K}$, ${f R}'$, ${f R}$ — матрица крутизны многомерного дискриминатора измерителя;

 $W_{us} = -R^{-1}R_{\phi} -$ задающее воздействие измерителя; $R = E^*E^* -$ корреляционная матрица сигналов, при-

нятых компенсационными каналами; $\mathbf{R}_{\mathbf{q}} = E_0 \mathbf{E}^*$ — вектор корреляции сигналов, принятых основным и компенсационными каналами:

основным и компенсационными каналами, $\mathbf{E} = \{E_1, E_2, E_3, ..., E_N\}^T$ – вектор комплексных амплитуд

сигналов, принятых компенсационными каналами; $\eta(t) = \text{случайное возмущающее воздействие измерителя.}$

Для анализа многоморной спедящей системы вида (1) проводится матричное прообразование над исходными векторными переменными (W. E), при котором отдельные контуры самонастройки для преобразованных весовых коэффициентов W, являются несиязанными [2]:

$$\frac{1}{K_{\perp}} \cdot \frac{d\mathbf{W}}{dt} = K_{\perp} \cdot \mathbf{A} \cdot \left(\mathbf{W}_{\alpha \alpha}^{\prime} + \xi^{\prime}(t) - \mathbf{W}^{\prime} \right),$$

$$\frac{1}{K_{\perp}} \cdot \frac{dW_{\beta}^{\prime}}{dt} = K_{\parallel} \cdot \lambda_{\perp} \cdot \left(W_{\lambda M_{2}}^{\prime} + \xi_{3}^{\prime}(t) - W_{\lambda}^{\prime} \right),$$

где $\mathbf{W}' = \mathbf{U}^{-1}\mathbf{W}'; \quad \xi' = \mathbf{U}^{-1}\xi;$

значениям матрины R

 $\mathbf{W} = \mathbf{U} \cdot \mathbf{W} = \{\mathbf{G}_{i_1}, \mathbf{G}_{i_2}, \cdots, \mathbf{G}_{i_n}\} \cdot \mathbf{W};$ $\mathbf{U} = [\mathbf{G}_{i_1}, \mathbf{G}_{i_2}, \cdots, \mathbf{G}_{i_n}] -$ квадратная матрица, столбцами которой являются нормированные собственные векторы

матрицы \mathbf{R} ; $\mathbf{\Lambda} = diag(\lambda_1, \lambda_2, \dots, \lambda_N) - \mathbf{\mu}$ иагональная матрица с элементами на главной диагонали, равными собственным

Выражения для матриц корреляционных функций и спектральных плотностей случайного возмущающего воздействия измерителя после преобразования определяются следующим образом [1]:

$$\mathbf{R}_{\eta}(\tau) = \eta^{r*}(t) \cdot \eta^{rT}(t - \tau) = 2\sigma_{\Sigma}^{2} \cdot r^{2}(\tau) \cdot \Lambda^{-1},$$
 (3)

 $S'_{ij} = S'_{ij} = \frac{2\sigma_{\Sigma}^2}{\beta_{ij} \Delta f} \cdot \Lambda^{-1},$ (4)

где $F(\mathsf{T})$ — нормированная коррепяционная функция помехи;

 $2\sigma_{\Sigma}^{2}$ – удвоенная средняя мощность остатков компенсации:

$$M_s = \left[\int_{r(t)} r(t) dt\right]^2$$
 — ширина спектра помехи;
 $\beta = \sum_{r=1}^{\infty} r(t) dt$ — постоянный коэффициент.

На основе указанной математической модели получим общие выражения для ошибок переходного процесса и дисперсий флуктуационных ошибок измерения весовых коэффициентов.

Ошибки переходного режима многоканального

Для анализа ошибос переходного режима необходимо решить систему дифосенциальных уравнений и (1) относительно вектора весовых коэффициентов автокомпенсатора в пердпогамении чупевого возмущающего водрайствия. Данная система дифференциальных уравнений соцится к набору не свазанных между собой од дифференциальных уравнений 1-го порядка (2). Уравнение (2) является неодкроидных пиней-ных дифавренциальным уравнениям 1-го порядка с постоянными коэффициентым, рошение которого известно 131.

$$W'_{k}(t) = W'_{k}(\infty) + [W'_{k}(0) - W'_{k}(\infty)] \exp \left(-\frac{t}{T}\right),$$
 (5)

где $W_k''(0)$ — значение весового коэффициента в исходный момент времени:

 $T_{\text{max}} = \frac{1}{K_{\alpha} \cdot K_{\beta} \cdot K_{\beta}}$ — эквивалентная постоянная времени замкнутого измерителя весового коэффициента.

Для того чтобы вернуться к исходному вектору весовых коэффициентов \mathbf{W}_i воспользуемся обратным преобразованием (2) $y_i = \sum_{n=0}^{\infty} C_{n}(k) \cdot p_i^{n}$. В этом случае можно получить

$$W_{i}(t) = W_{i}(\infty) + \sum_{i=1}^{N} \left[W'_{i}(0) - W'_{i}(\infty)\right] \cdot G_{i}(k) \exp\left(-\frac{I}{I_{max}}\right),$$
 (6)

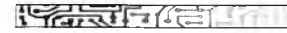
$$W(t) = W_{xx} + \sum_{i} [W'_{i}(0) - W'_{i}(\infty)] G_{xx} \exp(-\frac{t}{T}).$$
 (7)

Учитывая, что в соответствии с (2) $W_{k}^{r} = G_{ks}^{r+} W_{i}$ получим:

$$W_k'(0) = \mathbf{G}_{k\epsilon}^{\tau\tau} \mathbf{W}(0)$$
,
 $W_k'(\infty) = \mathbf{G}_{k\epsilon}^{\tau\tau} \mathbf{W}(\infty) = -\mathbf{G}_{k\epsilon}^{\tau\tau} \mathbf{R}^{-1} \mathbf{R}_{0} = -$
 $-\mathbf{G}_{k\epsilon}^{\tau\tau} \mathbf{R}^{-1} \mathbf{G}_{k\epsilon} \mathbf{G}_{k\epsilon}^{\tau\tau} \mathbf{R}_{0} = -\frac{1}{\lambda} \mathbf{G}_{k\epsilon}^{\tau\tau} \mathbf{R}_{0}$

Соответственно частное решение с учетом начальных условий совпадает с результатом, полученным в [4], и запишется спедующим образом:

(2)



$$\mathbf{W}(t) = \mathbf{W}_{us} + \sum_{n=1}^{3} \mathbf{G}_{n}^{*T} \cdot \mathbf{W}(0) - \frac{\mathbf{R}_{n}}{t} \cdot \mathbf{G}_{m} \cdot \exp(-\frac{t}{T_{m}})$$
. (8)

Практически интересен важный частный случай последнего выражения. Пусть имеется // внешних источников помех, сигналы которых сильно коррегированы по пространству антенны. В этом случае можно получить следующее выражение для переходного процесса;

$$\mathbf{W}(t) = \mathbf{W}_{wi} + \sum_{i=1}^{L} \mathbf{G}_{w}^{iT} \left\{ \mathbf{W}(0) - \frac{\mathbf{R}_{\phi}}{\lambda_{i}} \right\} \mathbf{G}_{w} \exp(-\frac{t}{T_{win}}) + \\
+ \sum_{i=1}^{L} \mathbf{G}_{w}^{iT} \mathbf{W}(0) \mathbf{G}_{w} \exp(-\frac{t}{T_{win}}).$$
(9)

Соответственно, мощность остатков компенсации, обусловленная ошибками переходного режима, в поспеднем случае будет определяться выражением:

$$2\sigma_{\text{loop}}^{\perp} = \Delta \mathbf{W}^{\perp}(t) \cdot \mathbf{R}^{\perp} \cdot \Delta \mathbf{W}^{\perp}(t) = \sum_{i=1}^{n} \lambda_{i} \cdot \Delta B''(0)^{2} \cdot \exp(-\frac{2t}{T_{\text{loop}}}) =$$

$$= \sum_{i=1}^{n} \lambda_{i} \cdot \mathbf{G}_{i}^{\text{eff}} \left\{ \mathbf{W}(0) - \frac{1}{1} \cdot R_{0} \right\} \cdot \exp(-\frac{2t}{T_{\text{loop}}}) =$$
(10)

Флуктуационные ошибки

многоканального автокомпенсатора
Оценим флуктувщионные ошибки самонастройки
весовых коэффициентов. В соответствии с [5] запишем
следующее выражение для корреляционной матрицы
флуктувционных ошибок самонастройки:

$$\mathbf{D}_{ic} = \frac{1}{2\pi} \int_{-\infty}^{\infty} \mathbf{K}_{0}^{c}(i\omega) \mathbf{S}_{v}(\omega) \mathbf{K}_{0}^{T}(i\omega) d\omega, \qquad (11)$$

где $\mathbf{K}_{\mathfrak{g}}(i\omega) = [\mathbf{E} + \mathbf{K}(i\omega)]^{-1}\mathbf{K}(i\omega)$ – матрица частотных характеристик замкнутого многомерного измерителя вессеых коэффициентов:

 $\mathbf{K}(i\omega) = \mathbf{K}_{c}K_{cc}(i\omega)$ — матрица частотных характеристик разомкнутого измерителя весовых коэффициентов; $K_{cc}(i\omega)$ — частотная характеристика цепей оглаживания.

А_{сі} (701) — частотная характеристика цепей отпаживания. Воспользуемся эквивалентными уравнениями многомерного измерителя (2). В этом случае можно записать:

$$\mathbf{D}_{\mathbf{w},\phi_1}' = \frac{1}{2\pi} \int_{-\infty}^{\pi} \mathbf{K}_0^{\prime\prime}(i\omega) \mathbf{S}_0'(\omega) \mathbf{K}_0^{\prime T}(i\omega) d\omega, \qquad (12)$$

 $\text{гал } \mathbf{K}_{s}^{\prime}(\omega) = [\mathbf{E} - \mathbf{K}^{\prime}(\omega)]^{T} \mathbf{K}^{\prime}(\omega)$, $\mathbf{K}^{\prime}(\omega) = \mathbf{K}_{s} \wedge \mathbf{K}_{s}^{\prime}(\omega)$. Полагая измеритель узкополосным по сравнению с шириной энергетического слектра возмущающего воздействия $(\mathbf{S}_{s}^{\prime}(\omega) = \mathbf{S}_{s}^{\prime}(\omega))_{s} = \mathbf{S}_{s}^{\prime}$, в соответствии с $(\mathbf{S}_{s}^{\prime}(\omega) = \mathbf{S}_{s}^{\prime}(\omega))_{s}$ осответствии с $(\mathbf{S}_{s}^{\prime}(\omega) = \mathbf{S}_{s}^{\prime}(\omega))_{s}$

$$\mathbf{D'}_{\pi, \varphi_0} = \frac{2\sigma_{\chi}^2}{\beta \cdot \Delta f_{\varphi}} \cdot \mathbf{A}^{-1} \cdot \frac{1}{2\pi} \int_{-\pi}^{\pi} \mathbf{K'}_0(i\omega)^2 d\omega = \frac{2\sigma_{\chi}^2}{\beta \cdot \Delta f_{\omega}} \cdot \mathbf{A}^{-1} \cdot \Delta f_{\omega} \cdot (\mathbf{13})$$

где $\Delta f'_{\omega} = \mathrm{diag} \{ \Delta f'_{1\omega}, \Delta f'_{2\omega}, \cdots, \Delta f'_{Nw} \} = \frac{1}{2\pi} \int \mathbf{K}'_{0}(i\omega)^{2} d\omega = \mathsf{диа-}$ гональная матрица эффективных полос пропускания замкнутых измерителей весовых коэффициентов \mathbf{W}' .

При использовании в качестве целей сглаживания идеального интегратора $K_{-}(\rho) = \frac{K_{-}}{I}$ передаточная характеристика замкнутой следящей системы k-го контура самонастройки описывается выражением.

$$K_{0k}(p) = \frac{K_n \lambda_k K_{cr}(p)}{1 + K_n \lambda_c K_{cr}(p)} = \frac{K_n \lambda_k K_c}{K_n \lambda_c K_c + p},$$
(14)

В этом случае эффективная полоса пропускания k-го замкнутого измерителя весового коэффициента W, равна:

$$\Delta I_{++} = \frac{1}{2\pi} \left[\frac{\left(K_{n} \lambda_{n} K_{r} \right)^{2}}{\left(K_{n} \lambda_{n} K_{r} \right)^{2} + \omega^{2}} dt \alpha = \frac{K_{n} \lambda_{n} K_{r}}{2} = \frac{1}{2T_{max}} \right]$$
 (15)

Итоговое выражение для матрицы дисперсий флуктуационных ошибок измерения вектора весовых коэффициентов W запишем в виде:

$$\mathbf{D}_{i}^{i} = \frac{2\sigma_{x}^{i}}{\beta \cdot \Delta f_{x}} \mathbf{A}^{-1} \Delta \mathbf{f}_{x} = \frac{K_{x} 2\sigma_{x}^{2} K_{i}}{\beta \cdot \Delta f_{x}} \mathbf{E}_{x}$$
 (16)

Произведем пересчет матрицы дисперсий флуктуационных ошибок:

$$\mathbf{D}_{w \neq z} = \mathbf{U}^{\mathsf{T}} \mathbf{D}'_{w \neq z} \mathbf{U}^{\mathsf{T}} = \frac{K_{z} 2\sigma_{z}^{2}}{\beta \cdot \Delta f_{z}} \frac{K_{z}}{2} \mathbf{E}.$$
 (17)

Таким образом, получены выражения для матриц дисперий служтуационных ошибок самонастройни весовых коэффициентов, которые оспласуются с результатами, полученными с использованием других методик [2, 6]. Мощность остатюв, обусповленная данными ошибками, определенства выражением.

$$2\sigma_{\text{max}}^{2} = \sum_{i=1}^{N} \lambda_{i} \cdot \Delta W_{i}^{*}(0)^{2} = \frac{K_{e} 2\sigma_{2}^{2}}{\beta \cdot \Delta f_{u}} \frac{K_{e}}{2} \sum_{i=1}^{N} \lambda_{v} = \frac{N \cdot 2\sigma_{2}^{2}}{2 \cdot \beta \cdot \Delta f_{u} \cdot T_{vm}}, (18)$$

 $T_{\rm ce} = \frac{R}{K} \cdot \frac{R}{KT_{\rm FR}} \cdot T_{\rm FR} = \sum_{k}^{N} k_{\rm c}$ след матрицы R. Отношение мощности остатков компенсации, обусповленной флуктуационными ошибками, к минимальной мощности остатков имеет вид:

$$M = \frac{\sigma_{\text{EAW}}^2}{\sigma_{\text{2min}}^2} = \frac{K_{\text{n}} Tr \mathbf{R} K_{\nu}}{\beta \cdot \Delta f_{\text{ni}} \cdot 2} = \frac{N}{2 \cdot \beta \cdot \Delta f_{\text{ni}} \cdot T_{\text{ver}}} + (19)$$

Заключение

Таким образом, приведены ориги-мальные методики анализа ошибок переходного режима и флуктуационных ошибок самонастройки многоженального автокомпенсатора шумовых помех для целей сглаживания сигнала ошибим в виде идеального интегратора. Результаты анализа доведены до выражений, позволяющих оценить вклад ошибок самонастройки в мощность остатков компенсации помежи.

Литература:

 Костромицкий, С. М. Математическая модель многоканального автокомпенсатора помех / С. М. Костромицкий, И. Н. Давыденко, А. А. Дятко // Электроника инфо. Минск. – 2010. – No3. – С. 64-66.

 Монзинго, Р. А. Адаптивные антенные решетки / Р. А. Монзинго, Т. У. Миллер // М.: Радио и связь, 1986. — 446 с.
 Корн, Г. Справочник по математике / Г. Корн,

Т. Корн // М.: Наука, 1974. — 832 с.

 Nobuyoshi, K. Effect of Initial Values of Adaptive Arrays/K. Nobuyoshi // IEEE Transactions on Aerospace and Electronic Systems. – V. 22, 1986. – №6. – P. 688-694.

 Бакут, П. А. Вопросы статистической теории радиопокации / П. А. Бакут, И. А. Большаков. Т. I). Под ред. Г. П. Тартаковского // М.: Советское радио, 1964. – 1079 с.

6. Пистолькорс, А. А. Введение в теорию адаптивных

m

антенн / А. А. Пистолькорс, О. С. Литвинов. // М: Наука. 1991 200 c

Abstract

The methods are proposed for analyzes the errors of a

multi-channel canseller, which implements the criterion of the output power minimum. The report consists of canceller's transient processes expression, expression for the fluctuation self-adjustment errors array.

Поступила в редакцию 22.12.2010.

ТРЕБОВАНИЯ К НАУЧНЫМ СТАТЬЯМ, ПУБЛИКУЕМЫМ В РАЗДЕЛЕ «РЕЦЕНЗИРУЕМЫЕ НАУЧНЫЕ СТАТЬИ»

 Научная статья – законченное и погически цепьное. произведение по раскрываемой теме - должна соответствовать одному из спедующих научных направлений: информационные технологии и системы, оптоэлекторника, микро- и наноэлектроника, приборостроение.

2. Объем научной статьи не должен превышать 0.35 авторского листа (14 тысяч печатных знаков. включая пробелы между словами, знаки препинания. цифры и другие), что соответствует 8 страницам текста, напечатанного через 2 интервала между строками (5.5 страницы в случае печати через 1.5 интервала).

3. Статьи в редакцию представляются в двух экземплярах на бумаге формата А4 (220015, г. Минск. пр. Пушкина, 29Б), а также в электронном виде (e-mail: sadov@bsu.bv). К статье прилагаются сопроводительное письмо организации за подписью руководителя и акт экспертизы. Статья должна быть подписана всеми авторами.

Статьи принимаются в формате doc, rtf, pdf. Каждая идлюстрация (фотографии, рисунки, графики, таблицы и др.) должна быть представлена отдельным файлом и названа таким образом, чтобы была понятна последовательность ее размещения. Фотографии принимаются в форматах tif или jpg (300 dpi). Рисунки, графики, диаграммы принимаются в форматах tif, cdr. eps или jog (300 dpi, текст в кривых). Таблицы принимаются в форматах doc. rtf или Excel.

4. Научные статьи должны включать спедующие элементы:

аниотанию

фамилию и инициалы автора (авторов) статьи, ее название:

введение:

основную часть, включающую графики и другой иллюстративный материал (при их наличии): заключение:

список цитированных источников: индекс УДК:

аннотацию на английском языке.

5. Название статьи должно отражать основную идею выполненного исследования, быть по возможности кратким, содержать ключевые слова, позволяющие индексировать данную статью.

6. Аннотация (100-150 слов) должна ясно излагать содержание статьи и быть пригодной для опубликования в аннотациях к журналам отдельно от статьи. В разделе «Введение» должен быть дан краткий

обзор литературы по данной проблеме, указаны не решенные ранее вопросы, сформулирована и обоснована цель работы.

Основная часть статьи должна содержать описа-

ние методики, апларатуры, объектов исследования и подробно освещать содержание исследований. Полученные результаты должны быть обсуждены с точки зрения их научной новизны и сопоставлены с соответствующими известными данными. Основная часть статьи может делиться на подразделы (с разъяснительными заголовками).

Иплюстрации, формулы, уравнения и сноски, встречающиеся в статье, должны быть пронумерованы в соответствии с порядком цитирования в тексте.

В разделе «Заключение» должны быть в сжатом виде сформулированы основные полученные результаты с указанием их новизны, преимуществ и возможностей применения

Список цитированных источников располагается в конце текста, ссылки нумеруются согласно порядку цитирования в тексте. Порядковые номера осылок должны быть написаны внутри квадратных скобок (например: [1], [2]).

В соответствии с рекомендациями ВАК Республики Беларусь от 29.12.2007г, №29/13/15 научные статьи аспирантов последнего года обучения публикуются вне очереди при условии их полного соответствия требованиям, предъявляемым к рецензируемым научным публикациям.

Новые возможности по изготовлению печатных плат! SUEKTEOR OR LUMBRAT

• Производство одно-

и двухсторонних печатных плат по 3-му, 4-му классам точности.

 Срочное производство опытных партий – от 3-х дней. 🖓 🧸

• Серийное производство однои двухсторонних печатных плат -

от 2-х недель.

 Все виды монтажа печатных плат. SMIDMA Deproving the Contemporary Diverse:

при, Браноровия, В. дод., 362 от планиру Пвичення почного. TORLOGRAM STREET, STRE Modern Company of the Control of the (STREET CLEAR SEE SEE SERVEDOM).

Email: Interesteen then keen